

Sc-B

1968

ScBO₃
(криSTALL.)

Brüesch P.

Helv. phys. acta, 41, N 4, 406

V:

Кристаллизация
кристаллов со струк-
турой иона алюмини-
ного иона

(акв. CaCO₃) III

ThB ThP, Th₂ (D₀, D_{1/2}) 3 1969

SeB ZrB (D₀)

Gingerich R.A.

7 VII 1971

High Temperature Sci., 1969, 1, 182, 253-267 (sum)

Gascoons metal borides. I. On the dissociation energy of the molecules ThB, ThP, and Th₂, and predicted dissociation energies of selected diatomic transition-metal borides.

Patterson, 1970

VO

B alloy

M, 10 CP

UB , CeB , UB_2 , ScB_2 , 8 1970
 YB_2 , LaB_2 , CeB_2 , PrB_2 , NdB_2 ,
 GdB_2 , ThB_2 (Do) VIII 3776

Gingerich K.R.
J. Chem. Phys., 1970, 53, 112, 746-748 (cited.)
Gaseous metal borides. I. Mass-spectrometric
evidence for the molecules UB_2 , UB , and CeB
and predicted stability of gaseous di-borides
of electropositive transition metals

PH May, 1971 C
A. E. USSR

H. O. ④ 8

1981

Sc BO₃

7 Б225. Колебательные спектры и строение ортоборатов скандия, иттрия, лантана и редкоземельных элементов. Ильин Ю. Н., Кравченко В. В., Петров К. И. «Химия кислород. соедин. бора. 5-е Всес. совещ. Тез. докл.» Рига, 1981, 64—65

Методами колебательной спектроскопии исследованы кристаллич. структуры ортоборатов Sc, Y, La и РЗЭ состава MBO₃. Выполнено отнесение колебательных частот. Показано, что ортобораты кристаллизуются в 3 структурных типах: кальцита (ScBO₃), арагонита (LaBO₃, NdBO₃) и «ватерита» (ортобораты остальных РЗЭ). Положения частот вал. кол. бор-кислородных группировок отражают различия в координат. числах бора. Отличительной чертой кристаллич. структур ортоборатов «ватеритного» типа является наличие группировок B₃O₉ (симметрия D_{3h}). Выполнен анализ нормальных колебаний аниона B₃O₉, смоделированы эффекты крист. поля при учете симметрии положения (C_{3h}) B₃O₉ в элементарной ячейке. Сделаны выводы о прочности хим. связей в ортоборатах.

Г. К.

Li;

(18)

(+3)

YBO₃, LaBO₃
Ln'BO₃

X. 1982, 19, N 7

ScB₂

1983

6 Б1018. Электронное строение диборидов металлов первого переходного периода. The electronic structure of the first-row transition metal diborides. Armstrong David R. «Theor. chim. acta», 1983, 64, № 2, 137—152 (англ.)

В рамках метода МО ЛКАО в зонном и кластерном приближениях рассчитано электронное строение диборидов ScB₂, TiB₂, VB₂, CrB₂ и MnB₂. В квазимолек. кластерном приближении рассмотрена расширенная ячейка из 54 атомов и учтено взаимодействие кластера с ближайшими соседями в кристалле (всего 274 атома). На основе расчетов зонной структуры построены плотности валентных состояний, комбинированные плотности состояний, определены плотности состояний на уровне Ферми, с использованием к-рых вычислены удельная теплоемкость, молярная магнитная восприимчивость, сопротивление и проводимость рассмотренных соедине-

*химия,
структур*

(f4)
X

X. 1984, 19, N 6

ний. Рассчитанные энергии уровня Ферми составили $-5,6$, $-5,7$, $-6,3$, $-7,1$ и $-7,8$ эВ для ScB_2 , TiB_2 , VB_2 , CrB_2 и MnB_2 , соотв. Показано, что зоны вблизи уровня Ферми сформированы, в основном, локализованными $3d$ -орбиталлями атомов металла. В результате интегрирования плотности состояний определены заряды атомов металлов, составившие $+2,28$, $-1,99$, $+1,85$, $+1,52$ и $+1,08$ для Sc , Ti , V , Cr и Mn , соотв. Анализ хим. связи в зонном и кластерном приближениях показал, что в соединениях MB_2 хим. связь характеризуется сильными взаимодействиями $\text{B}-\text{B}$ и $\text{M}-\text{B}$ с добавлением ионной составляющей связи, обусловленной поляризованным распределением заряда:

И. А. Тополь.

ScH_2BH_4

19.86

олысаев Д. Г.

Килем. и тех. опи-
з. н. хим. процесов. Черно-
рудская, 1986, 32.

(Сл. KBH₄; III)

H_2ScBH_4

1987

6 Б1061. Теоретическое изучение структуры и стабильности борогидридов типа MNH_4 ($M=ScH_2$, TiH_3 , Cu и ZnH). Мусаев Д. Г. «Химия гидридов. 4 Всес. совещ., Душанбе, 17—18 нояб., 1987. Тез. докл.» Б. м. б. г. 47

Неэмпирическим методом ССП изучены структуры и относит. энергетич. х-ки различных конфигураций борогидридов H_2ScBH_4 , H_3TiBH_4 , $CuBH_4$ и $HZnBH_4$. Все рассмотренные борогидриды стабильны к распадам $MNH_4 \rightarrow MH + BH_3$ и $MNH_4 \rightarrow M^+ + BH_4^-$. Энергии отрыва молекулы BH_3 и иона BH_4^- у борогидридов $ScBH_6$, $TiBH_7$, $CuBH_4$ и $ZnBH_5$ составляют 56, 59, 35, 20 ккал и 189, 192, 161, 191 ккал, соответственно. Из резюме

м-п.

(+3)



X. 1988, 19, N 6

H_3ScBH_4

1987

Ильясов Д.Т.,
Черкасов О.П.

и.н.

Пр. в рабс. неотожд с
координац. химии. Тез.
докт. и Всес. съезд. Т. 1.
Новосибирск, 1987, 110.

(ав. KBH_4 ; III)

Sc BHG

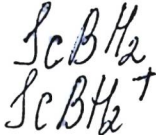
1988

Мусаев Р.Н., Годун А.С.
Каркин О.Н. и гр.,

СМР-РА,
стажировка,
м.сп.
расчет

Koopgieren. Хлебод. —
1988, 14, фан. 5)
638-647

1996



124: 271015k Structure, Stability, and Bonding of Transition-Metal-Boryl Complexes. A Molecular Orbital Study. Musaev, Djamataddin G.; Morokuma, Keiji (Cherry L. Emerson Center for Scientific Computation, Emory University, Atlanta, GA 30322 USA). *J. Phys. Chem.* 1996, 100(16), 6509–17 (Eng). By using CAS-SCF, MRSD-CI + DC, and various d.-functional theory (DFT) methods, we have studied the electronic and geometrical structures of MBH_2 , MBH_2^+ (where M = Sc, Co, Rh, and Ir), and RhB(OH)_2 , and RhB(OH)_2^+ complexes. The ground states of CoBH_2^+ and IrBH_2^+ are nearly degenerate quartet states derived from the ${}^5\text{F}(\text{s}^1\text{d}^7)$ state of M^+ and the ${}^2\text{A}_1$ state of BH_2 , while the ground states of RhBH_2^+ are doublet states which are results of the interaction of $\text{Rh}^+ {}^3\text{F}(\text{s}^0\text{d}^8)$ with $\text{BH}_2({}^2\text{A}_1)$. The ground states of ScBH_2^+ are doublet states from $\text{Sc}^+ {}^3\text{D}(\text{s}^1\text{d}^1)$ and $\text{BH}_2({}^2\text{A}_1)$. For neutral species MBH_2 , where M = Co, Rh, and Ir, the triplet states are always the ground states, while for ScBH_2 , the ${}^1\text{A}_1$, ${}^3\text{A}_1$, and ${}^3\text{A}_2$ states are clustered within a 0.5 kcal/mol energy range. The MRSD-CI + DC binding energies (BEs) are 49.3, 52.8, 64.3, and 87.5 and 37.8, 51.0, 74.1, and 84.5 kcal/mol for ScBH_2^+ , CoBH_2^+ , RhBH_2^+ , and IrBH_2^+ and ScBH_2 , CoBH_2 , RhBH_2 , and IrBH_2 , resp. M^+-BH_2 bonds are stronger than $\text{M}-\text{BH}_2$

(2) +3

1) VdBr

C-A. 1996, 124, 1120

bonds for M = Sc, Co, and Ir, while the $\text{Rh}^+ \text{-BH}_2$ bond is weaker than Rh-BH_2 . The BE of the metal-boryl bonds increases in the order $\text{Co}^+ < \text{Rh} < \text{Ir}$ and $\text{Co}^+ < \text{Rh}^+ < \text{Ir}^+$. The M-B bond is stronger than the M-H and M-CH₃ bonds for the late metals Co, Rh, and Ir, while for the early metal Sc/Sc⁺, the M-B bond is weaker than the M-H and M-CH₃ bonds. These results can be explained in terms of the importance of π -interaction between metal occupied d_{z²} orbitals and the BR₂ empty p_z orbital. MRSD-CI + DC BEs calcd. at the DFT-optimized geometries are larger than those obtained at the CAS-SCF-optimized geometries, indicating that the DFT geometries are more reliable than the CAS-SCF geometries.

ScB⁺

1998

130: 130159x On the electronic structure of ScB⁺: ground and low-lying excited states. Kalemos, Apostolos; Mavridis, Aristides (Department of Chemistry, Laboratory of Physical Chemistry, National and Kapodistrian University, Athens, Greece 157 10). *Adv. Quantum Chem.* 1998, 32, 69–91 (Eng), Academic Press. The electronic structure of the ScB⁺ cation has been studied using MR-CI (CAS-SCF + single + double replacements) techniques and large basis sets, (21s16p9d6f/10s5p2d1f) generalized contracted to [7s6p4d3f/4s3p2d1f]. From the manifold of mol. states emanating from the 3D_g , 1D_g , 3F_g at. states of Sc⁺ and the ground 2P_u state of the B atom, we have analyzed a series of eight low-lying excited states of symmetries ${}^4\Sigma^-$, ${}^2\Sigma^+(2)$, ${}^2\Sigma^-$, ${}^2\Pi(2)$, and ${}^2\Delta(2)$, spanning an energy range of about 1 eV. For all states full potential energy curves have been constructed and spectroscopic consts. have been extd. via a std. Dunham anal. The ground $X{}^4\Sigma^-$ state of ScB⁺ traces its ancestry to the Sc⁺(3D_g ; M = +1) + B(2P_u ; M = 1) atomic fragments, with a binding energy of 44.9 kcal/mol at R_o = 2.160 Å. The binding mode of the $X{}^4\Sigma^-$ state can be considered as the result of three half bonds, a σ and two π bonds. (c) 1998 Academic Press.

OCHE II
KALEMOS
M. CECCHETTI
MEOPREM
PAOLINI

C.A. 1999, 130, N 10

1999

F: Sc[BO]+

P: 3

132:40764 Electronic and Geometrical Structure
of the Sc[BO]+ Cation. An Initio Investigation.

Papakondylis, Aristotle; Mavridis, Aristides
Laboratory of Physical Chemistry Department
of Chemistry, National and Kapodistrian University
of Athens Zografou 157 10, Greece J.

Phys. Chem. A, 103(46), 9359-9363 (English) 1999
The Sc[BO]+ mol. cation was investigated theor. by
multireference CI methods detg. the potential
energy surfaces of all states that correlate

C.A.2000, 132

ground-state Sc+(3D) + BO(X2.SIGMA.+) fragments. Three kinds of min. were discovered corresponding to the linear Sc-BO+ and BOSc+ and to the bent B configurations, with the bent structure being the global min. for all states. Full potential energy curves are reported for all symmetries examined, i.e. 2A'(3), 2A''(2) for the bent and 2.DELTA., 2.PI., 2.SIGMA.+; 4.DELTA., 4. and 4.SIGMA.+ for the linear geometries. The ground state is of 2A'' sym with a BO-Sc binding energy $D_e = 63.9$ kcal/mol at an equil. geometry with and BO-Sc bond lengths of 1.260 and 2.046 Å, resp., and a BOSc angle of 90.7.degree..